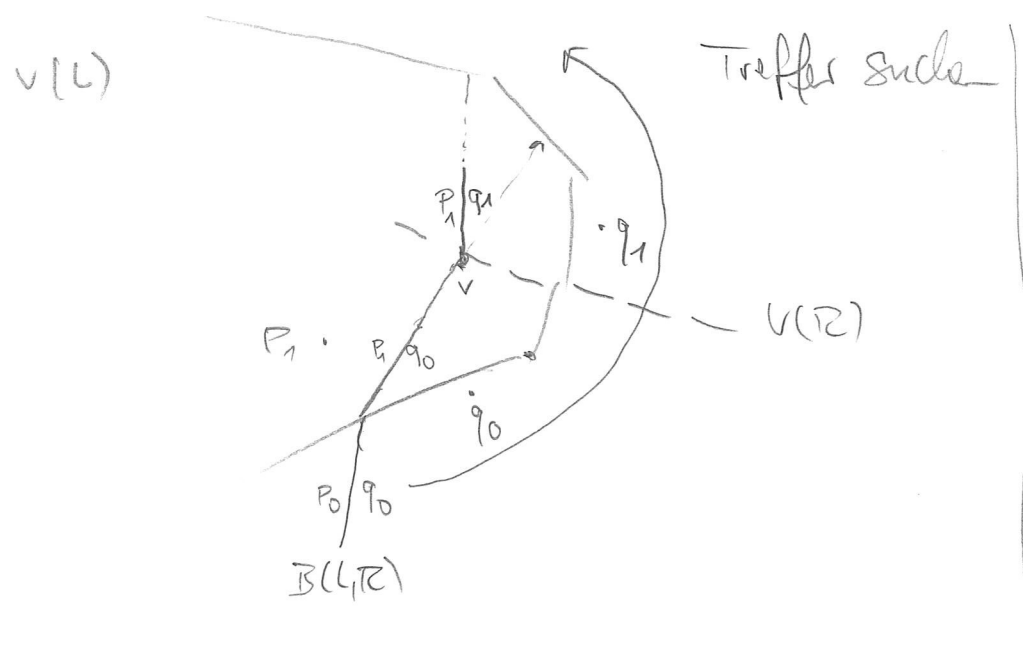


Alg Geo 2d. 1
Berechnung von $V(S)$ bzw. $D(S)$

$V(S)$ mit DFC:
 Teile S mit Strahlen in L und R
 berechne rekursiv $V(L)$ und $V(R)$
 Reststücke $B(L,R)$ und füge
 $V(L), V(R)$ zu $V(S)$ zusammen

$B(L,R)$ = Punkte mit nächsten Nachbarn in L und R mit gleicher Distanz
 γ -monotone polygonale Kette
 Anfangsstück finden im Unendlichen: $O(n)$
 verfolgen von $B(L,R)$ simultan in $V(L)$ und $V(R)$



Laufzeit?
 $B(L,R)$ kann eine Region mehrfach besuchen ... siehe Bild
 Kosten für Verfolgung von $B(L,R)$
 Berechnung des Treffers: \leq
 # Voronoi-Knoten in $V(S)$: $O(n)$
 Entlanglaufen auf Rändern:
 # Voronoi-Knoten von $V(L)$ und $V(R)$
 $O(\frac{n}{2})$ (gleich gemacht)

Übungsaufgabe 6.11 In Abbildung 6.25 besucht $B(L, R)$ die Voronoi-Region von p_2 zweimal.

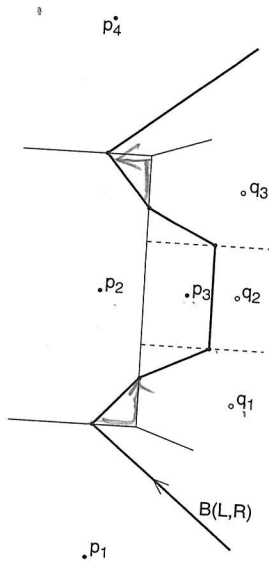


Abb. 6.25 Der Bisektor $B(L, R)$ besucht die Region von p_2 in $V(L)$ zweimal,

aber die durchlaufene Randstücke sind diejenigen

1 Punkte

ir Wellenfront bei.

Ereignis ist Zeit =
stück AltWStück fin-
line vom Schnittpkt
ie der Punkt, zu des-
muß in diesem Fall

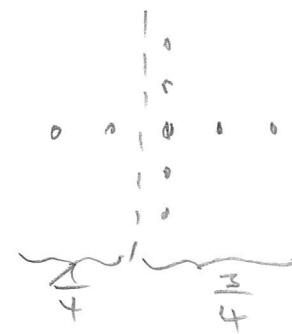
at Schnittpkt|.

schon mehrfach ver-
menge L von S über-
, L) höchstens größer
konkurrenten um die
te e zwischen den Re-
h in $V(L)$ eine solche
l.

$B(p, q) \cap VR(p, L) \cap$
 L und q als nächsten
n gleich weit entfernt.

Algeo 21.3

läßt sich S stets in zwei gleich große Teilungen teilen?
 - in algebraischer Lage: ✓
 - real:

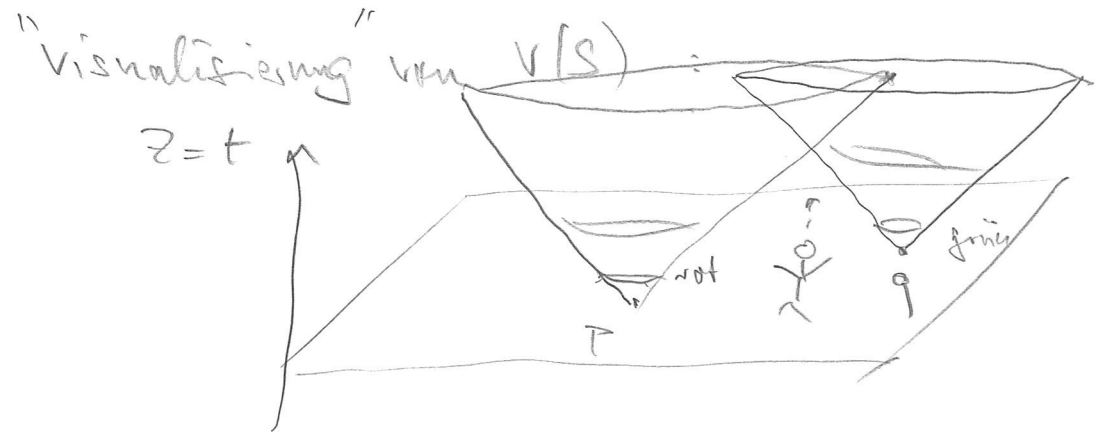


Aufangsschritt von $S(L, \tau)$
 bei Shamos/Hoey



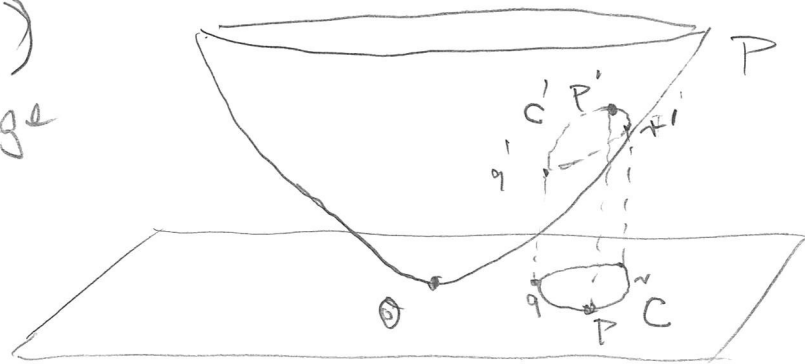
Rekursionsbaum hat Höhe: k kleinste j mit $(\frac{3}{4})^j \cdot n \leq 1$
 $j = \lfloor \log_{\frac{4}{3}} n \rfloor \in O(\log n)$ $n \leq (\frac{4}{3})^j$

Theorem - $V(S)$ läßt sich mit DCEL in Zeit $O(n \log n)$ und Platz $O(n)$ konstruieren. Das ist optimal!



erzeugt Bild von $V(S)$,
 aber nicht DCEL mit Koordinaten
 "z-Buffer!"

Berechnung von $D(S)$
 S in allgemeiner Lage



P Paraboloid

$$x^2 + y^2 = z$$

$$P' = (x, y, x^2 + y^2)$$

$$P = (x, y)$$

Lemma: Ein gekrümmter Kreis C' liegt auf einer Ebene.

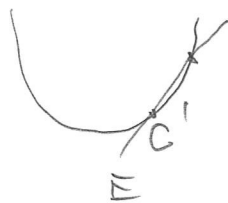
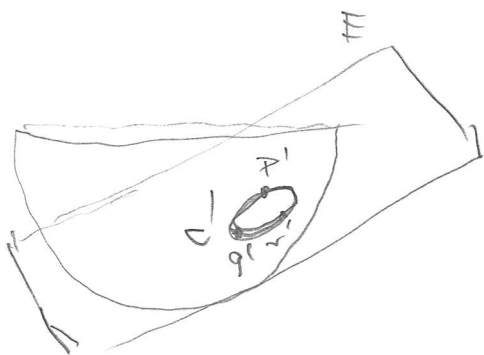
Beweis Kreis C : Gleichung $(x-a)^2 + (y-b)^2 = r^2$

$$C' = \left\{ (x, y, z) \in \mathbb{R}^3; \underbrace{(x-a)^2 + (y-b)^2 = r^2}_{\text{und } z = x^2 + y^2} \right\}$$

$$x^2 - 2ax + a^2 + y^2 - 2by + b^2 - r^2 = 0$$

$$= P \cap \left\{ (x, y, z) \in \mathbb{R}^3; z - 2ax - 2by + a^2 + b^2 - r^2 = 0 \right\}$$

offene Ebene E



- Nun: P, P', P' bilden Dreieck von $D(S)$
- $\Rightarrow C$ enthält keine anderen Punkte von S
 - \Rightarrow unterhalb von E liegen auf P keine anderen gekrümmten Punkte
 - $\Rightarrow \text{tria}(P, P', P')$ liegt auf $Dch(S')$.

AlgGeo 21.5

Theorem 0.18

$D(S)$ ist die Projektion der unteren konvexen Hülle

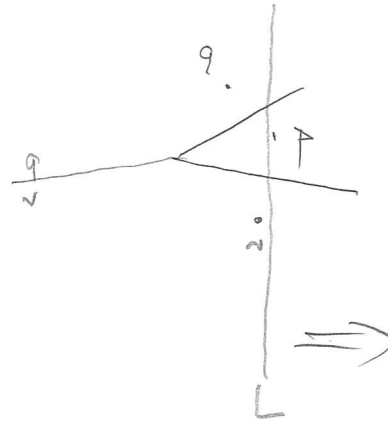
Dunkel ($ch(S')$) in \mathbb{R}^2 .

Mit inkrementellem Alg.: mittlere Laufzeit $O(n \log n)$.

Berechnung von $V(S)$ mit Sweep

Problem:

L schneidet $VR(p, S)$,
hat aber den Punkt p noch
nicht entdeckt.



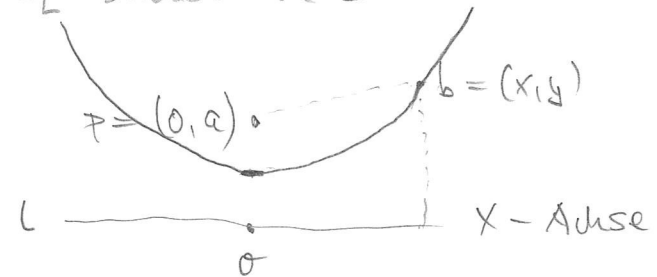
Idee: Fortune, Seidel : betrachte auch sweepline L als Site
verwalte das Vorzeichen-Diagramm von L } "Invarianten"
und den Punkten S_L links von L

Frage: Bisektor von Punkt und Gerade

$$b \in B(p, L) \Leftrightarrow y = \sqrt{x^2 + (y-a)^2}$$

$$\Leftrightarrow y^2 = x^2 + y^2 - 2ay + a^2$$

$$\Leftrightarrow y = \frac{x^2 + a^2}{2a} = \frac{1}{2a}x^2 + \frac{a}{2} \text{ Parabel}$$



Sei $S = \{p_1, p_2, \dots, p_n\}$ in der Reihenfolge aufsteigender X -Koordinaten. Angenommen, die *sweep line* L befindet sich gerade zwischen p_i und p_{i+1} . Wir betrachten das Voronoi-Diagramm der Punkte p_1, \dots, p_i links von L und der *sweep-line* L selbst; siehe Abbildung 6.13.

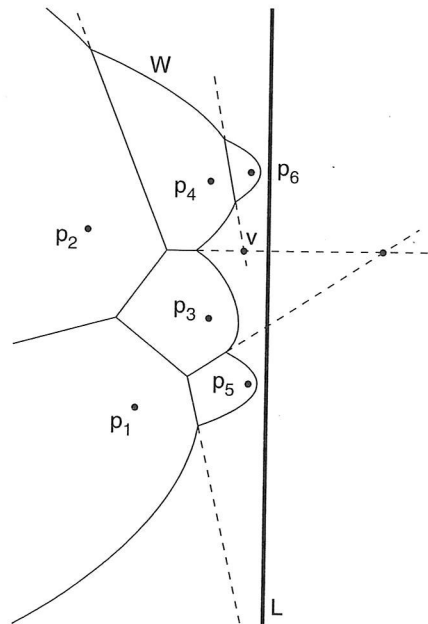


Abb. 6.13 Der Rand der Voronoi-Region von L bildet die Wellenfront W .

Der Rand der Voronoi-Region der *sweep line* besteht aus Parabelbögen, die Teile von Bisektoren $B(p_j, L)$ mit $j \leq i$ sind. Man nennt ihn die *Wellenfront* W . Die Parabeln selbst heißen *Wellen*, ihre in W vorkommenden Stücke nennen wir *Wellenstücke*.

Links von der Wellenfront liegt ein Teil des Voronoi-Diagramms der Punkte p_1, \dots, p_i , der zugleich ein Teil von $V(S)$ ist; denn die schon vorhandenen Voronoi-Kanten zwischen den Regionen von zwei Punkten aus S_i können sich nicht mehr ändern, wenn die *sweep line* auf neue Punkte stößt.

Während die *sweep line* L weiter nach rechts wandert, folgen ihr mit halber Geschwindigkeit alle Parabeln $B(p_j, L)$ mit $j \leq i$ und damit die gesamte Wellenfront W nach; daß die Wellen sich vorwärtsbewegen, kann man in Abbildung 6.14 gut erkennen.

Wo zwei in W benachbarte Wellenstücke z B. Teile von

Wellenfront

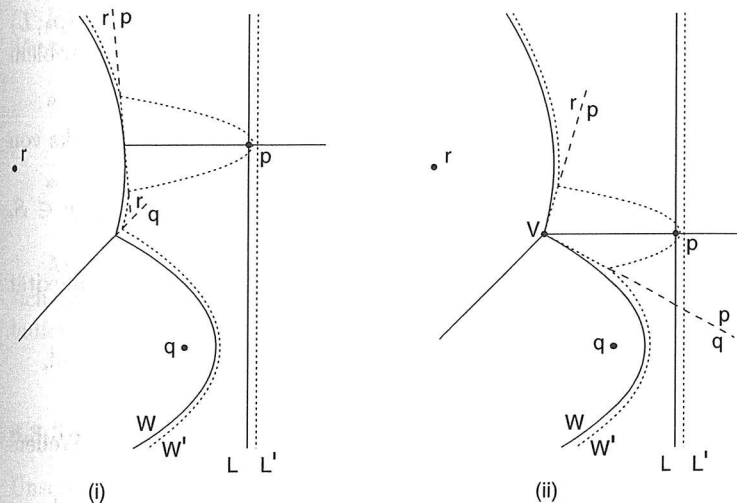


Abb. 6.14 Wenn die *sweep line* auf einen neuen Punkt trifft, entsteht eine neue Welle.

Bisektoren nach rechts über die Wellenfront hinaus werden *Spikes* genannt; sie sind in Abbildung 6.13 gestrichelt eingezeichnet.

Spikes

Dadurch, daß die Wellenstücke längs der Spikes vorrücken, vergrößert sich das Teilstück von $V(S)$ links von W .

Als Sweep-Status-Struktur *SSS* speichern wir nun nicht die von der *sweep line* geschnittenen Voronoi-Kanten, sondern die aktuelle Wellenfront W , also den Rand von $VR(L, S_i \cup \{L\})$. Ihre Gestalt ist recht einfach.

Lemma 6.10 Die Wellenfront W ist zusammenhängend und Y -monoton.

Struktur der Wellenfront

Beweis. Weil je zwei solche Bisektorparabeln sich schneiden, ist W zusammenhängend. Die Monotonie kann direkt aus der Form der Parabeln geschlossen werden oder aus der Verallgemeinerung von Lemma 5.25 auf Geraden: Danach liegt zu jedem Punkt x aus der Voronoi-Region von L auch das Liniensegment xy_x zum nächsten Punkt y_x auf L ganz in der Region von L . \square

Die Wellenstücke in W sind also nach Y -Koordinaten geordnet. In Abbildung 6.13 tragen von unten nach oben die Punkte $p_1, p_5, p_3, p_4, p_6, p_4, p_2$ ein Stück zur Wellenfront bei. Mit den Bezeichnungen auf Seite 64 sind dies die *aktiven* Punkte von S .

Aly Geo 21.8
Kosten:

Punkte aus S nach x sortieren,
in ES (Warteschlange) einfügen :
" # Events · Kosten pro Event "

$O(n \log n)$

Wie beim
Liniensegment-Schnitt-
Problem

L trifft neuen Punkt: $\# = n$; Kosten pro Event: $O(\log n)$

Wellenfunkt trifft Schnitt
von Spikes: $\# = \#$ Vorangig-Knoten
von $V(S)$ $\in O(n)$
Kosten: $O(\log n)$

Theorem 6.11 $V(S)$ mit Sweep in optimaler Zeit $O(n \log n)$
und Platz $O(n)$.

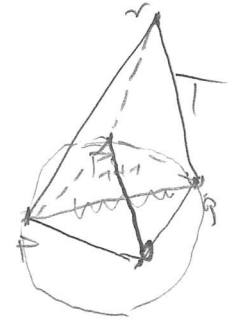
weiteres Verfahren zur Berechnung von $D(S)$: (allgemeine Lage)

inkrementell: $S_i = \{P_{i-1}, P_i\}$; $D(S_{i-1})$ schon vorhanden, P_{i+1} kommt dazu

- bestimme Dreieck T von $D(S_{i-1})$, welche P_{i+1} enthält
- verbinde P_{i+1} mit den Ecken von T
- teste die neuen Dreiecke mit Eckpunkt P_{i+1} , ob
Umkreis leer:

falls ja: Delaunay!
wenn: Flip

bis alle Kreise leer



Alg Geo 21.9

Trips beim Einfügen von P_{i+1} :

$$= \text{Grad von } P_{i+1} \text{ in } D(S_{i+1}) - 3$$

Wenn P_{i+1} ein zufälliger Punkt in S_{i+1} ist, finden im Mittel nur 3 Trips statt.

Problem: Wie findet man das Dreieck T , welches P_{i+1} enthält?